

名古屋高速道路公社 正員 ○前野祐文
名古屋高速道路公社 正員 佐藤章次
三菱重工業株式会社 正員 三宅 勝

1. えがき 名古屋高速道路公社市道高速1号運河工区上部工事では最大径間129m、全長437mの5径間連続鋼床版箱桁を採用し、主桁上フランジ及び鋼床版の現場溶接継手は溶接によることとした。現場溶接継手の採用でとくに問題となる構軸直角方向溶接に伴なう横収縮量を上越レギンバー量を推定し、製作時ギャンバーによりこむことにより吸収することとした。上越レギンバー量はこれまでの実績に基づき、まず継手毎の横収縮量を推定し、次ぎに横収縮量を継手部での角変化に転換する方法により決定したが、本橋の場合1) 主桁に43ヶの継手数があり、全長分での上越レギンバー量2mにもなること、2) 架設上の制約のため主桁上フランジの板厚がこれまでの鋼床版桁の12mmを中心としたものと相違し、37mmまで変化していること等を考慮するとし上越レギンバー量の妥当性を試験により確認することとした。供試体は実際の製作ブロックのないから上フランジ板厚が、12、17、26、37mmのものそれぞれ2組、計8組を選んだ。ブロックは試験のため少し長く製作しておき試験完了後溶接部を切断して所定の寸法に仕上げることとした。試験結果を以下に報告する。

2. 自由収縮量測定試験 実物供試体上フランジと同板厚の試験片を実際に計画されているものと同じ溶接条件で溶接をおこない、標点間距離100mmの自由収縮量Stfを測定した。開先形状は標準のものと開先角度、ルートギャップを許容値まで変えたものを選んだ。溶接方法は裏当弦をもちいて片面自動溶接で1例として、t=37mmの溶接条件を表-1に示す。測定結果を溶接断面積Awで整理したのが図-1である。溶接による横収縮量についてはSpararagenの式、 $S = (0.18 \frac{A_w}{t} + 0.05d)$ をでt=1の場合が良好な近似を示している。ここで S: 横収縮量 (mm)、Aw: 溶接断面積 (mm²)、t: 板厚 (mm)、d: ルートギャップ (mm)

3. 実物モデル試験 表-2に示す寸法の実物ブロックを図-2のように組立てて下フランジは普通ボルト全数締め、ウェブは下から2/3の高さまで高力ボルト全数締め、Uリブ内のストロングバックは普通ボルト締めの継手部拘束状態で1)引寄せジャッキによる拘束度試験、2)上フランジ本溶接試験を実施した。測定項目はa)支点反力、b)上フランジ及びウェブでの標点間距離(開先詰り量)、c)溶接時ウェブ添接板表面の歪、d)ギャンバー変化量、e)桁表面温度である。

3.1 拘束度試験 引寄せジャッキ力Pと支点反力R及び開先詰り量△lの測定結果の1例を図-3に示す。図-4には8組の供試体についての相関性をみるために支点浮上り時の水平力P_{max}を拘束度($\Delta l = 1\text{ mm}$ に対する水平力P_{0.1}と定義)でプロットしたものと示す。本試験は本溶接試験結果を整理する場合の構造上の拘束係数を求めるために実施したものであるが、図-4からもわかるように同じ供試体(丁番号の同じもの)が違う計測結果になつていて、Uリブ内のストロングバック等の影響を考慮

	下層		上層	
	溶接方法	CO ₂ シールドガス溶接	SAW	
層		初層	2層目	3層目
材	うら当材	KL-3	—	
料	ワイヤー	DWS-52 (1.6#)	US49(4.8#)	
系	フラックス	—	MF-38	
流	電流(A)	300	300	750~850
電	電圧(V)	33	34	34~36
件	速度(cm/min)	10	14	25~30

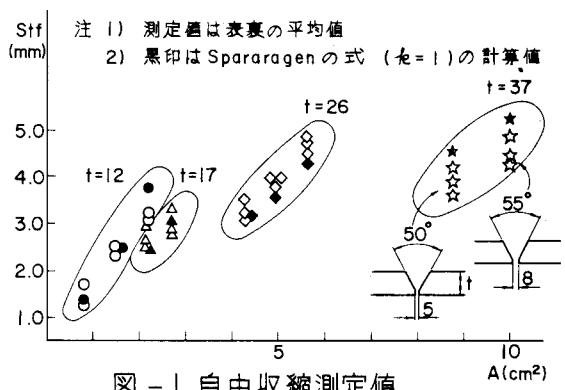


図-1 自由収縮測定値

えられる。拘束度と反力との関係は供試体間では良好な相関を有している。

表-2 供試体寸法

供試体記号	l (mm)	l_1 (mm)	l_2 (mm)	h (mm)	W_1 (t)	W_2 (t)
G1J2, G2J2	22960	12730	10230	2100	22.4	15.8
G2J33, G3J33	21250	12750	8500	2300	27.9	17.7
G1J35, G4J35	14275	6375	7900	2320	20.0	17.7
G1J11, G4J11	15840	8230	7610	2970	27.7	23.0

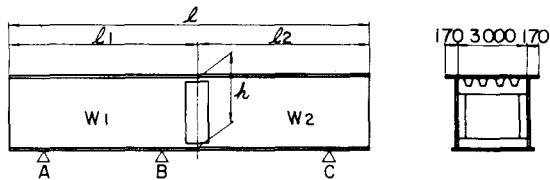


図-2 組立図

3.2 本溶接試験 溶接完了後の上フランジ標点間距離 100 mm の

横収縮量 S_t と自由収縮量 S_{tf} の比 $\alpha = S_t / S_{tf}$ を拘束度試験で求

めた P_{el-1} で整理したものを図-5 に示す。次に横収縮量 S_t とキャ

ンバー変化量の測定結果の関係を示す。図-6 から $S_t = \beta \frac{l_1 \times l_2}{l} \cdot \Delta l$

$$\frac{S_t}{S_{tf}} = r \cdot \frac{l_1 \times l_2}{e} \cdot \frac{S_{tf}}{S_{tf}} \quad (r = \alpha \beta)$$

とあらわし、 β , r を P_{el-1} で整

理したのが図-7 である。

4. 結論

1) 自由収縮量 S_{tf} は Spararagen の式 (たゞした $= 1$) の計算値とよく一致する。

2) $\alpha = S_t / S_{tf}$ はほぼ 0.7~0.8 の間にあり、実物供試体の拘束度が増すのが減少する傾向にある。

3) 溶接横収縮にみるキャンバー変化量 (上越レ量) を横収縮量 S_t と幾何的変形状態から推定するのには妥当な方法である。係数 β は 0.87~1.27 の間にあり、供試体の拘束度に対する右上りの傾向を示す。自由収縮量 S_{tf} や計算する場合は拘束度に対する α , β の傾向が相殺し、すなは拘束度に影響されない方向になる。実験における β の平均値は 0.8 である。なら運河工法の製作は Spararagen の式をもじって $r = 0.7$ として上越レキャンバーを設けていい。

4) 自由収縮量の試験

値と計算式の整合性、

自由収縮量と実物モデ

ルの横収縮量との関係

そして横収縮とキャン

バー変化量の関係を一

連の試験により明らか

にすることができた。

その他の測定項目及び詳細

については別の機会に報告

する予定である。なら供

試体の製作、測定は三菱重

工、石川島播磨重工、日本

車両、宮地鐵工所の4社でなったものである。

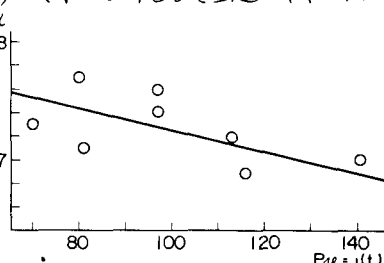


図-5 溶接による横収縮量

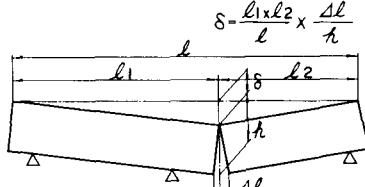


図-6 幾何的変形模式図

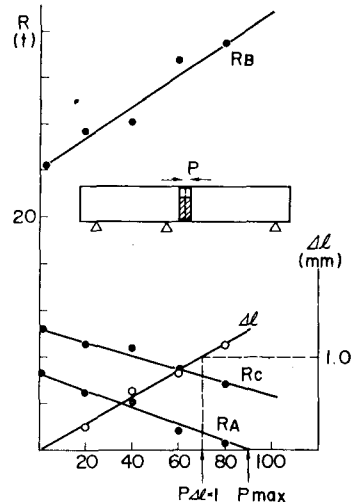


図-3 拘束度試験(G1J2)

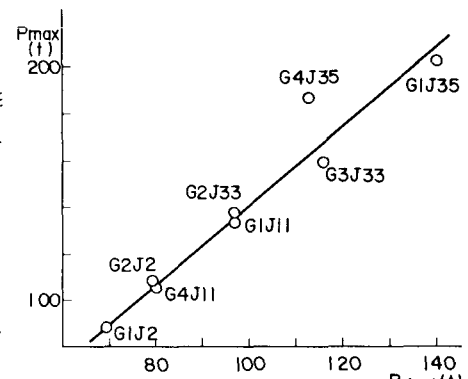


図-4 拘束度試験相関性

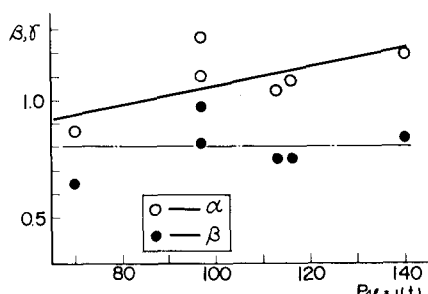


図-7 横収縮によるキャンバー変化量